



تأثیر خاصیت الاستیک و نیروی اینرسی بر طول گردابهای موجود در جریان سیال ویسکوالاستیک داخل کانال صفحه‌ای با انبساطی تدریجی

محمد محسن شاهمردان^{۱*}، محمود نوروزی^۲، حسن حسن‌زاده^۳، امین شهبانی ظهیری^۴

۱- دانشیار، مهندسی مکانیک، دانشگاه شهرود، شهرود

۲- استادیار، مهندسی مکانیک، دانشگاه شهرود، شهرود

۳- استادیار، مهندسی مکانیک، دانشگاه بیرجند، بیرجند

۴- دانشجوی دکتری، مهندسی مکانیک، دانشگاه بیرجند، بیرجند

* شهرود، صندوق پستی ۳۶۱۹۹۹۵۱۶۱-۳۱۶ mmshahmardan@shahroodut.ac.ir

چکیده

در این تحقیق، جریان غیر خزشی سیال ویسکوالاستیک در داخل کانال صفحه‌ای با انبساط تدریجی و نسبت انبساط ۱:۳ مورد بررسی قرار گرفته است. شبیه سازی عددی جریان آرام و تراکم ناپذیر سیال ویسکوالاستیک با استفاده از روش حجم محدود و الگوریتم پیزو انجام شده است. برای مطالعه اثر خاصیت الاستیک بر روی طول گردابهای جریان سیال پیمایی از مدل رئولوژیکی غیرخطی فن تین-تن استفاده شده است. در مطالعه حاضر، بررسی طول گردابهای متقاضن و نامتقاضن در محدوده وسیعی از اعداد رینولدز و وایزنبیرگ و برای سه زاویه انبساط ۴۵ و ۶۰ درجه انجام شده است. از نوآوری این تحقیق، مطالعه جریان سیالات پلیمری داخل کانال صفحه‌ای با تغییرات تدریجی در سطح مقاطع (زواياي انبساطی کمتر از ۹۰ درجه) می‌باشد. همچنین مقادیر حرارتی اول و دوم برای اعداد رینولدز و وایزنبیرگ در زواياي انبساطی مختلف گزارش گردیده و طول گردابهای دوم و سوم به صورت توابعی از اعداد رینولدز و وایزنبیرگ بیان و ترسیم شده است. برای اعداد وایزنبیرگ کمتر از یک، طول گردابهای متقاضن با افزایش خاصیت الاستیک در تمام زواياي انبساطی کاهش می‌یابد. در حالی که افزایش اندازه زاویه انبساط در اعداد رینولدز و وایزنبیرگ کم، منجر به زیاد شدن طول گردابهای متقاضن و نامتقاضن می‌گردد.

اطلاعات مقاله

مقاله پژوهشی کامل

در رافت: ۰۷ مهر ۱۳۹۳

پذیرش: ۱۵ بهمن ۱۳۹۳

ارائه در سایت: ۱۶ اسفند ۱۳۹۳

کلید واژگان:

سیال ویسکوالاستیک

زاویه انبساط

طول گردابهای

عدد رینولدز بحرانی

عدد وایزنبیرگ بحرانی

The influence of elastic property and inertial force on the length of vortices in viscoelastic fluid flow inside planar channel with the gradual expansion

Mohammad Mohsen Shahmardan^{1*}, Mahmood Norouzi¹, Hassan Hassanzadeh², Amin Shahbani Zahiri²

1- Department of Mechanical Engineering, Shahrood University, Shahrood, Iran.

2- Department of Mechanical Engineering, University of Birjand, Birjand, Iran.

* P.O.B. 3619995161-316 Shahrood, Iran, mmshahmardan@shahroodut.ac.ir

ARTICLE INFORMATION

Original Research Paper

Received 29 September 2014

Accepted 04 February 2015

Available Online 07 March 2015

Keywords:

Viscoelastic fluid

Expansion angle

Length of vortices

Critical Reynolds number

Critical Weissenberg number

ABSTRACT

In this study, non-creep flow of viscoelastic fluid was investigated inside a planar channel with gradual expansion and expansion ratio of 1:3. The laminar and incompressible flow of viscoelastic fluid has been simulated numerically using finite volume method and PISO algorithm. The nonlinear Phan Thien-Tanner (PTT) rheological model has been applied to study effect of elasticity property on the length of vortices in the polymeric fluid flow. In present study, the investigation of symmetric and asymmetric vortices length is down in a wide range of Reynolds and Weissenberg numbers and for three angles of 30, 45 and 60 degrees. The study of polymeric fluids flow through the planar channel with gradual changes in cross section (with expansion angles less than 90 degrees) is the innovation of this research. Also, the critical values of first and second for Reynolds and Weissenberg numbers have been expressed in various expansion angles and furthermore, length of second and third vortices has been plotted and presented as a function of Reynolds and Weissenberg numbers. The length of symmetric vortices decreases with increment of elastic property at all expansion angles for values of Weissenberg numbers which is less than one. Whereas the growth of expansion angle value leads to increase in the length of symmetric and asymmetric vortices for low Reynolds and Weissenberg numbers.

1- مقدمه

کاربردهای مهم آن می‌توان به صنایع داروسازی، مواد غذایی، پتروشیمی و نفت اشاره کرد. برای جریان سیالات داخل کانال با انبساط و انقباض ناگهانی، مطالعات فراوانی بصورت عددی و آزمایشگاهی انجام شده است. جریان (انبساطی یا انقباضی) یکی از مسائل رایج و پرکاربرد در صنعت است. از جمله

Please cite this article using:

M.M. Shahmardan, M. Norouzi, H. Hassanzadeh, A. Shahbani Zahiri, The influence of elastic property and inertial force on the length of vortices in viscoelastic fluid flow inside planar channel with the gradual expansion, *Modares Mechanical Engineering*, Vol. 15, No. 4, pp. 281-291, 2015 (In Persian)

برای ارجاع به این مقاله از عبارت ذیل استفاده نمایید:

بعدی در نسبت انبساطهای 3:40 و 1:80 را برای اعداد رینولدز کم ($Re \leq 4$) به صورت عددی مدلسازی کردند. همچنین دارویش و همکارانش [14] و میسرلیس و همکارانش [15] با استفاده از مدل ماکسول بالادست⁶ و روش المان محدود، جریان خرشی سیال ویسکوالاستیک ($Re = 0/1$) در انبساط ناگهانی 1:4 را شبیه سازی کردند. در تمام این تحقیقات با افزایش عدد دبورا، قدرت و طول گردابهای کاهش پیدا می‌کند و در اعداد دبورای بسیار بزرگ این گردابهای محرومی گردند.

پول و همکارانش [16] ابتدا جریان خرشی سیال ویسکوالاستیک را با دو مدل ماکسول بالادست و اولدروید- بی⁷ برای انبساط ناگهانی صفحه‌ای با نسبت انبساط 1:3 مورد مطالعه قرار دادند و سپس در تحقیقی دیگر [17] با استفاده از مدل ماکسول بالادست، تأثیر نسبت انبساط بر روی الگوی جریان خرشی را بررسی کردند. نتیجه جالب مورد مشاهده در مطالعه آن‌ها، روند تغییر طول گردابهای با نسبت انبساط در اعداد دبورای مختلف می‌باشد. برای نسبت انبساطهای کوچک، تغییرات غیر یکنواختی برای طول گردابهای با عدد دبورای مشاهده می‌گردد. بطوري که روند تغییرات طول گردابهای در اعداد دبورای کم بصورت کاهشی و در اعداد دبورای بزرگ بصورت افزایشی می‌باشد. در حالیکه برای نسبت انبساطهای بزرگ ($ER \geq 3$) روند تغییرات طول گردابهای یکنواخت بوده و با افزایش عدد دبورا، طول گردابهای کاهش می‌باشد.

اولیویرا [18] مدلسازی عددی جریان سیالات ویسکوالاستیک با لزجت ثابت را در داخل انبساط ناگهانی صفحه‌ای با نسبت انبساط 1:3 انجام داده است. او در تحقیق خود سیالات ویسکوالاستیک را با استفاده از مدل پیوستگی اصلاح شده فن- سی آر⁸ مورد مطالعه قرار داد و مشاهده نمود که خاصیت الاستیک باعث افزایش پایداری جریان شده و مقدار بحرانی عدد رینولدز در سیالات نیوتی بیشتر از سیالات غیرنیوتی می‌باشد. همچنین با استفاده از همین مدل و نسبت انبساط 1:4، روجا و همکارانش [19] پدیده عدم تقارن جریان سیالات ویسکوالاستیک را در انبساط ناگهانی صفحه‌ای مورد بررسی قرار داده و مقادیر عدد رینولدز بحرانی را بدست آورده‌اند. زینگ و همکارانش [20] جریان سیال ویسکوالاستیک را با مدل رئولوژیکی اصلاح شده فن- بی⁹ توسط نرم افزار فلوئنت مدلسازی کردند. آن‌ها نتایج مطالعات خود را با تحقیق اولیویرا مقایسه کردند و مشاهده نمودند که انتخاب مدل رئولوژیکی و مقادیر پارامترهای مدل در نتایج بسیار مؤثر می‌باشد. همچنین عزیزی و همکارانش [21] نیز جریان متقارن سیال ویسکوالاستیک داخل کanal و اگرای دو بعدی با نسبت انبساط 1:3 را برای سرعت و رودی کم (عدد رینولدز کوچک) مورد مطالعه قرار دادند. آن‌ها با استفاده از مدل‌های رئولوژیکی مختلف در محدوده وسیعی از اعداد واينبرگ، توزیع سرعت و تنش را بررسی کردند.

همانطور که اشاره شد، اکثر مطالعات انجام شده برای جریان سیال ویسکوالاستیک در داخل انبساط ناگهانی برای اعداد رینولدز کم (جریان خرشی) می‌باشد. در مطالعه حاضر، جریان غیرخشی سیال ویسکوالاستیک در داخل انبساط تدریجی (زوایای انبساطی کمتر از 90 درجه) با نسبت انبساط 1:3 مدلسازی شده است. با توجه به مطالعات گذشته و بررسی دقیق‌تر جریان سیال ویسکوالاستیک، مدل رئولوژیکی فن تین- تنر غیر خطی¹⁰ برای مطالعه حاضر در نظر گرفته شده است. همچنین برای ایجاد انبساط تدریجی در بخش دوم کanal (بخش انبساطی)، زوایای انبساطی 30، 45 و 60 همکارانش [13] با استفاده از مدل فن تین- تنر خطی⁵ جریان انبساطی دو

سیالات غیرنیوتی در انبعاث ناگهانی بیشتر از انبساط ناگهانی بررسی شده است و مقاله‌های مختلفی در این زمینه موجود می‌باشد. در حالیکه تحقیقات کمتری در مورد جریان سیالات غیرنیوتی (به ویژه سیالات ویسکوالاستیک) در انبساط ناگهانی انجام شده است.

در اواخر قرن نوزدهم، جریان سیالات نیوتی در هندسه انبساط ناگهانی بصورت تجربی و عددی برای اعداد رینولدز کم توسط پژوهشگران مطالعه شده است. در این زمینه، هونگ و مکانگو [1]، دورست و همکارانش [2] و چدرون و همکارانش [3]، شبیه سازی عددی جریان آرام سیال نیوتی را برای انبساط ناگهانی و اعداد رینولدز کم انجام داده‌اند. همچنین مکانگو و هنگ [4] و فیرن و همکارانش [5] جریان آرام سیال نیوتی را بصورت تجربی مورد بررسی قرار داده‌اند. نتایج همه این تحقیقات نشان می‌دهد که با زیاد شدن اینرسی جریان، طول نواحی گردابهای شکل افزایش می‌یابد.

سپس اکریوس و اسکرادر [6] و مایلیس و همکارانش [7] جریان سیالات نیوتی داخل کanal و اگرای نامتقارن را برای اعداد رینولدز بزرگ ($Re \leq 500$) به صورت عددی مورد مطالعه قرار دادند. نتایج آن‌ها نشان می‌دهد که برای پروفیل سرعت سه‌می در ورودی کanal، جریان در اعداد رینولدز بالا همچنان پایدار می‌ماند؛ در حالیکه اگر سرعت جریان در ورودی کanal یکنواخت باشد، جریان با شرط $1/54 < \lambda_{\text{پایدار}} / \lambda_{\text{پارامتر}} < 1/2$ نصف عرض کanal بالادست است. همچنین شاهمردان و همکارانش [8] آستانه تغییر حالت پایداری جریان سیال نیوتی از حالت متقاضن به نامتقارن را در داخل کanal دارای انبساط تدریجی با نسبت انبساط 1:3 مورد مطالعه قرار دادند. در این تحقیق، تأثیر زوایای انبساط بر اعداد رینولدز بحرانی اول و دوم مورد بررسی قرار گرفته و نمودار چند شاخه‌ای برای طول گردابهای در زوایای انبساطی مختلف ترسیم شده است.

مانیکا و بروتولی [9] حل عددی جریان سیال غیرنیوتی در انبساط ناگهانی صفحه‌ای را با مدل قانون توانی¹ برای نسبت انبساط 1:3 انجام دادند. آن‌ها در تحقیق خود با استفاده از سیالات غیرنیوتی رقيق شونده² و غلیظ شونده³، مقدار عدد رینولدز بحرانی و وابستگی آن به شاخص توانی را مورد مطالعه قرار دادند. آن‌ها مشاهده کردند که با کاهش مقدار شاخص توانی برای سیالات غیرنیوتی رقيق شونده، جریان در اعداد رینولدز کوچکتری نامتقارن می‌شود؛ در حالیکه این پدیده برای سیال غیرنیوتی غلیظ شونده، برعکس می‌باشد. نفوپیتو [10] نیز شبیه سازی عددی جریان سیال غیرنیوتی در انبساط ناگهانی صفحه‌ای 1:2 را برای دو مدل قانون توانی و کایسون⁴ انجام داده و حالت عدم تقارن جریان سیالات غیرنیوتی را مورد مطالعه قرار داده است. دهینکارا و همکارانش [11] نیز جریان سیال غیرنیوتی رقيق شونده و غلیظ شونده در انبساط ناگهانی را با استفاده از قانون توانی ($n = 4 \leq Re \leq 0/2$) برای نسبت انبساط 1:3 مورد مطالعه قرار دادند. آن‌ها با بررسی جریان در محدوده وسیعی از اعداد رینولدز ($600 \leq Re_{\text{gen}} \leq 0/01$)، حالت عدم تقارن جریان و گردابه سوم را مشاهده کردند و مقادیر اعداد رینولدز بحرانی را بدست آورده‌اند.

تاوسند و والترز [12] رفتار جریان سیالات ویسکوالاستیک داخل انبساط ناگهانی برای نسبت انبساطهای بزرگ (3:40 و 1:80) در حالت صفحه‌ای و متقارن محوری را بصورت تجربی مورد مطالعه قرار دادند. در ادامه بالوچ و همکارانش [13] با استفاده از مدل فن تین- تنر خطی⁵ جریان انبساطی دو

6- Upper Convected Maxwell (UCM)

7- Oldroyd-B

8- Finitely Extensive Nonlinear Elastic-Chilcott-Rallison (FENE-CR)

9- Finitely Extensive Nonlinear Elastic-Peterlin (FENE-P)

10- Exponential Phan Thien-Tanner (EPTT)

1- Power Low

2- Shear-thinning

3- Shear-thickening

4- Casson model

5- Linear Phan Thien-Tanner (LPTT)

$$f(tr\tau_p) = \begin{cases} \exp\left(\frac{\varepsilon We}{\eta_p/\eta} tr\tau_p\right) & \text{شکل غیرخطی} \\ 1 + \frac{\varepsilon We}{\eta_p/\eta} tr\tau_p & \text{شکل خطی} \end{cases} \quad (7)$$

در تحقیق حاضر از فرم غیرخطی برای مدل رئولوژیکی فن تین-تنر استفاده شده است. همچنین ثابت‌های ε و η_p/η پارامترهای کشش و تنظیم پذیر این مدل می‌باشند. همچنین پارامتر کشش ($0 \leq 0$)، میزان انعطاف پذیری سیال ویسکوالاستیک را نشان می‌دهد و پارامتر θ نماینده نسبت اختلاف تنش نرمال دوم به اول می‌باشد. مقادیر این پارامترها از روی نتایج آزمایشگاهی بدست می‌آید. در صورتی که مقدار این پارامترها صفر و تابع تریس تانسور تنش دارای مقدار یک باشد، مدل الدروید- بی بست می‌آید. در نتیجه مدل رئولوژیکی فن تین-تنر دارای رفتار رقیق شوندگی در لزجت برشی می‌باشد؛ در حالیکه لزجت برشی مدل الدروید- بی ثابت می‌باشد. آلوز و همکارانش [25] در تحقیق خود نشان دادند که هر چه مقادیر این پارامترهای کشش و تنظیم پذیر در مدل فن تین-تنر کوچک تر باشد با نتایج تجربی تطابق بهتری دارد. آن‌ها در تحقیق خود، مقادیر پارامترهای کشش و تنظیم پذیر را برابر با $0/02 = 0/04$ و $\theta = 0/04$ گزارش کردند. اعداد بی بعد مورد استفاده در مطالعه حاضر، اعداد رینولدز و واپنبرگ هستند که بصورت (8) تعریف می‌گردند:

$$Re = \frac{\rho U_{in} h}{\eta}, \quad We = \frac{\lambda U_{in}}{h} \quad (8)$$

که پارامترهای ρ , λ , U_{in} و h به ترتیب بیانگر چگالی، زمان رهایی از تنش، ارتفاع بخش اول کanal و سرعت یکنواخت جریان در ورودی کanal می‌باشد. برای حل عددی این مسئله از الگوریتم پیزو با روش حجم محدود در داخل نرم افزار کد باز این فوم استفاده شده است. الگوریتم پیزو دارای دو مرحله تصحیح برای فشار است، در نتیجه از لحاظ همکارایی نسبت به الگوریتم های دیگر قویتر بوده و زمان همگرایی آن کمتر می‌باشد [26]. در روش حجم محدود، انتگرال هر متغیر در مرکز سلول با استفاده از روش دیورزانس گاووس بر روی سطح المان محاسبه می‌گردد. برای گستته سازی ترم های لابلائسین و دیورزانس متغیرها در مرکز سلول از روش اختلاف محدود مرکزی استفاده شده است که دقت آن از مرتبه دوم می‌باشد. ترم جابجایی معادلات با استفاده از روش اختلاف بالادست خطی، گستته شده است و گستته سازی ترم مشتق زمانی با روش کرنک نیکلسون می‌باشد.

برای محاسبه مقادیر متغیرها بر روی وجود سلول (برای مزهها و ترم جابجایی) از درونیایی خطی بر روی مقادیر مرکز سلول‌ها استفاده گردیده است. دقت گستته سازی تمام ترم‌های معادلات از مرتبه دوم می‌باشد. با گستته سازی معادلات حاکم بر مسئله، دستگاه معادلات خطی تشکیل می‌گردد. این دستگاه معادلات با استفاده از روش گرادیان مزدوج برای اسکالر فشار و گرادیان غیر مزدوج پایدار برای مؤلفه‌های میدان سرعت و تانسور تنش حل می‌گردد. در ورودی کanal، مقدار مؤلفه‌های میدان سرعت و تانسور تنش ثابت و یکنواخت بوده و گرادیان فشار صفر می‌باشد. در حالیکه در خروجی کanal، گرادیان مؤلفه‌های میدان سرعت و تانسور تنش صفر بوده و مقدار فشار برابر فشار محیط است. بر روی دیواره کanal، به دلیل شرط عدم لغزش، مقدار مؤلفه‌های سرعت صفر بوده و گرادیان فشار و مؤلفه‌های تانسور تنش برابر صفر می‌باشد. روند اجرای الگوریتم پیزو به صورت مختصر در شکل 2 آورده شده است.

برای بررسی استقلال حل عددی جریان سیال ویسکوالاستیک از شبکه محاسباتی، 3 نوع شبکه مختلف برای زاویه انبساط 30 درجه در نظر گرفته شده است.

درجه مورد مطالعه قرار گرفته است.

از نوآوری تحقیق حاضر، انتخاب زوایای انبساطی مختلف و بررسی جریان غیر خوشی با مدل فن تین-تنر غیرخطی می‌باشد. با توجه به شکل 1، کanal دارای سه بخش است و مبدأ محورهای مختصات در ورودی کanal و روی خط مرکزی واقع است. ارتفاع و طول در بخش اول و سوم کanal به ترتیب با L_1, h و L_3 نشان داده است. بخش دوم کanal که همان بخش انبساطی است؛ با طول L_2 و زاویه انبساط با θ مشخص شده است. همچنین طول گردابه اول، دوم و سوم به ترتیب با LV_1 و LV_2 و LV_3 نامگذاری شده است. طول بخش اول و سوم کanal به ترتیب 20 و 60 برابر ارتفاع بخش اول می‌باشد تا پروفیل سرعت به حالت توسعه یافته کامل دست یابد. در ادامه برای بررسی صحت و درستی نتایج تحقیق حاضر، جریان سیال نیوتونی در انبساط ناگهانی مدلسازی و با تحقیقات پیشین مقایسه شده است. همچنین با انتخاب 3 نوع شبکه مختلف برای زاویه انبساط 30 درجه، استقلال حل عددی از شبکه بررسی شده است.

2- معادلات حاکم و الگوریتم حل

در مطالعه حاضر جریان سیال ویسکوالاستیک آرام، تراکم ناپذیر و هم دما در نظر گرفته شده است. شکل بی بعد معادلات بقای جرم و اندازه حرکت بصورت رابطه (1) می‌باشد [22]:

$$(1)$$

$$\nabla \cdot u = 0$$

$$Re \frac{\partial u}{\partial t} + Re u \cdot \nabla u = -\nabla p + \nabla \cdot \left(2 \frac{\eta_N}{\eta} d + \tau \right) \quad (2)$$

که در رابطه (1) و (2) u و p و τ به ترتیب بردار سرعت سیال، فشار هیدرودینامیکی و تانسور تنش کل می‌باشد. لزجت کل (η) سیال ویسکوالاستیک به دو لزجت نیوتونی (η_N) و پلیمری (η_p) تقسیم می‌گردد. همچنین تانسور d نشان دهنده نرخ تغییرات شبکه سیال است که بصورت رابطه (3) تعریف می‌شود [22]:

$$d = \frac{(\nabla u + \nabla u^T)}{2} \quad (3)$$

که بالا نویس T نشان دهنده ترانسپوز ماتریس گرادیان سرعت است و در حالت دو بعدی بصورت رابطه (4) تعریف می‌گردد [22].

$$\nabla u^T = \begin{bmatrix} \frac{\partial u_x}{\partial x} & \frac{\partial u_y}{\partial x} \\ \frac{\partial u_x}{\partial y} & \frac{\partial u_y}{\partial y} \end{bmatrix} \quad (4)$$

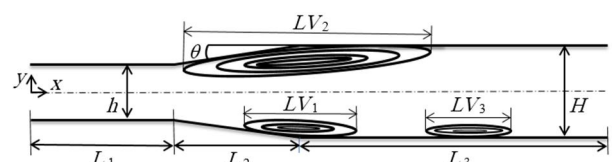
همچنین تانسور تنش کل شامل دو تانسور تنش نیوتونی (τ_N) و تنش پلیمری (τ_p) می‌باشد که تنش نیوتونی از رابطه (5) بدست می‌آید [22]:

$$\tau_N = 2\eta_N d \quad (5)$$

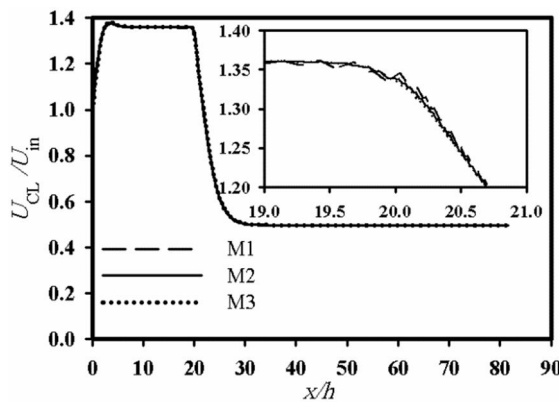
و تنش پلیمری (τ_p) با استفاده از مدل رئولوژیکی فن تین-تنر توسط رابطه (6) محاسبه می‌گردد [23]:

$$f(tr\tau_p) \tau_p - 2 \frac{\eta_p}{\eta} d = We[(\tau_p \cdot \nabla u + \nabla u^T \cdot \tau_p)] - We \left[\frac{D\tau_p}{Dt} + \zeta(\tau_p \cdot d + d \cdot \tau_p) \right] \quad (6)$$

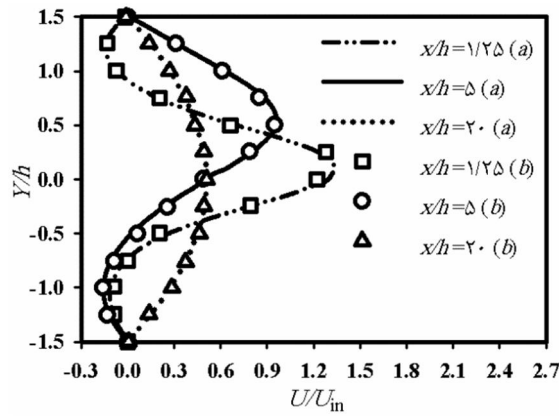
همچنین تابع تریس تانسور تنش برای مدل رئولوژیکی فن تین-تنر دارای دو شکل غیرخطی و خطی است که بصورت رابطه (7) تعریف می‌گردد [24].



شکل 1 نمایش شماتیک کanal صفحه‌ای با انبساط تدریجی



شکل 4 سرعت روی خط مرکزی کanal برای جریان سیال ویسکوالاستیک در زاویه انبساط 30 درجه با مقادیر 1 و 60 $We = 60$

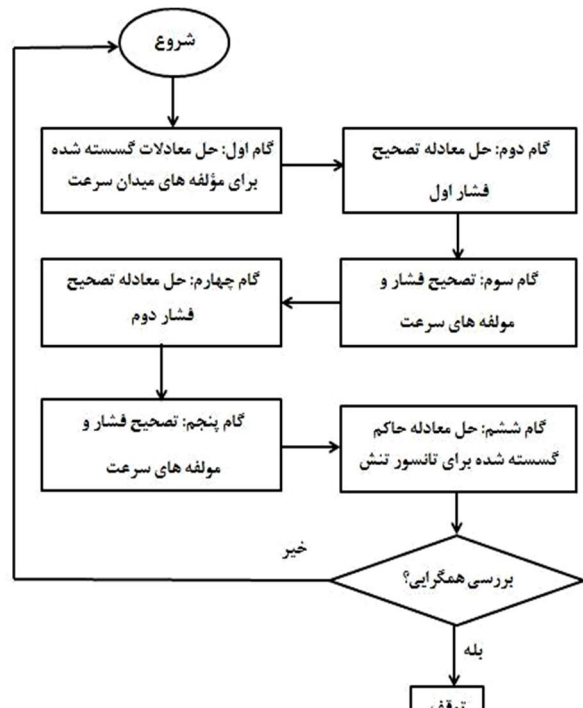


شکل 5 مقایسه پروفیل سرعت جریان سیال نیوتی در مقاطع عرضی مختلف کanal در $Re = 60$, برای نتایج مطالعه حاضر (a) و نتایج تحقیق فیرن و همکارانش [5] (b)

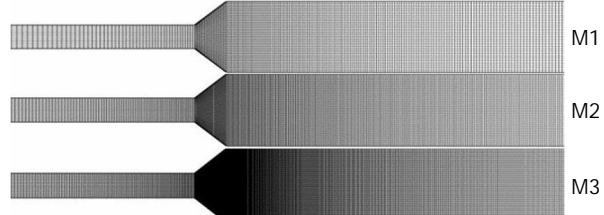
از آنجایی که تحقیقی برای جریان غیرخوشی سیال ویسکوالاستیک با مدل رئولوژیکی فن تین-تنر غیرخطی در انبساط ناگهانی 1:3 نیز وجود ندارد، برای اعتبار سنجی نتایج تحقیق حاضر، جریان سیال نیوتی ($We = 0$) در انبساط ناگهانی 1:3 با تحقیقات گذشته مقایسه شده است. فیرن و همکارانش [5] با استفاده از روش‌های تجربی و عددی، جریان سیال نیوتی در کanal با انبساط ناگهانی را مورد بررسی قرار دادند. آن‌ها توزیع سرعت جریان را برای سه سطح مقطع مختلف ترسیم نمودند. در تحقیق آن‌ها، فاصله هر سطح مقطع از ابتدای بخش انبساطی کanal در نظر گرفته شده و با ارتفاع بخش اول کanal بی‌بعد شده است. همانطور که در شکل 5 مشاهده می‌گردد، فواصل این مقاطع عرضی از ابتدای بخش انبساطی کanal به ترتیب 1/25، 5 و 20 برابر ارتفاع بخش اول کanal می‌باشد. با توجه به شکل 5، مطابقت خوبی (a) بیشترین خطای مطلق 4/5 درصد (b) بین نتایج عددی مطالعه حاضر (a) و نتایج تجربی فیرن و همکارانش [5] (b) مشاهده می‌گردد. پس از اطمینان از صحت و درستی نتایج مدلسازی عددی، در ادامه طول گردابهای جریان سیال ویسکوالاستیک در کanal با انبساط تدریجی برای زوایای انبساطی مختلف بررسی و تشریح گردیده است.

5- بیان و تفسیر نتایج

هدف اصلی در این پژوهش، بررسی تأثیر زوایای انبساطی، اعداد رینولدز و واizenبرگ بر طول گردابهای و مطالعه اعداد رینولدز و واizenبرگ بحرانی می‌باشد. از آنجایی که جریان غیرخوشی و سیال غیرنیوتی پلیمری (با نسبت لزجت نیوتی به پلیمری بسیار کم) می‌باشد، اعداد رینولدز و واizenبرگ



شکل 2 مراحل اجرای حل عددی با الگوریتم پیزو



شکل 3 مشبکه سه نوع شبکه برای زاویه انبساط 30 درجه

جدول 1 مشخصات مشبکه سه نوع شبکه در زاویه انبساط 30 درجه

شبکه	NC_{tot}	Δy_{min}	Δx_{min}	NC 3	NC 2	NC 1
M1	8340	0/0033	0/0075	6000	340	2000
M2	25360	0/0025	0/0050	18000	1360	6000
M3	43450	0/0020	0/0025	30000	3450	10000

3- استقلال حل از شبکه محاسباتی

نماینده این 3 نوع شبکه از حالت المان متوسط تا المان بسیار ریز به ترتیب M1، M2 و M3 می‌باشد. مشبکه سه نوع شبکه برای زاویه انبساط 30 درجه در شکل 3 نشان داده شده و مشخصات کامل سه نوع شبکه در جدول 1 آورده شده است. همانطور که در شکل 4 مشاهده می‌شود، اختلاف سه شبکه با یکدیگر کم می‌باشد. ولی شبکه M1 به دلیل ریز نبودن المان، دارای اندکی خطای در بخش انبساطی می‌باشد، ولی شبکه M2 کاملاً منطبق بر شبکه M3 می‌باشد. از آنجایی که استفاده از شبکه بسیار ریز M3، هزینه محاسباتی زیادی را به همراه دارد؛ در مطالعه حاضر از شبکه M2 برای مدلسازی جریان در داخل کanal با بخش انبساطی استفاده شده است.

4- اعتبار سنجی نتایج حل عددی

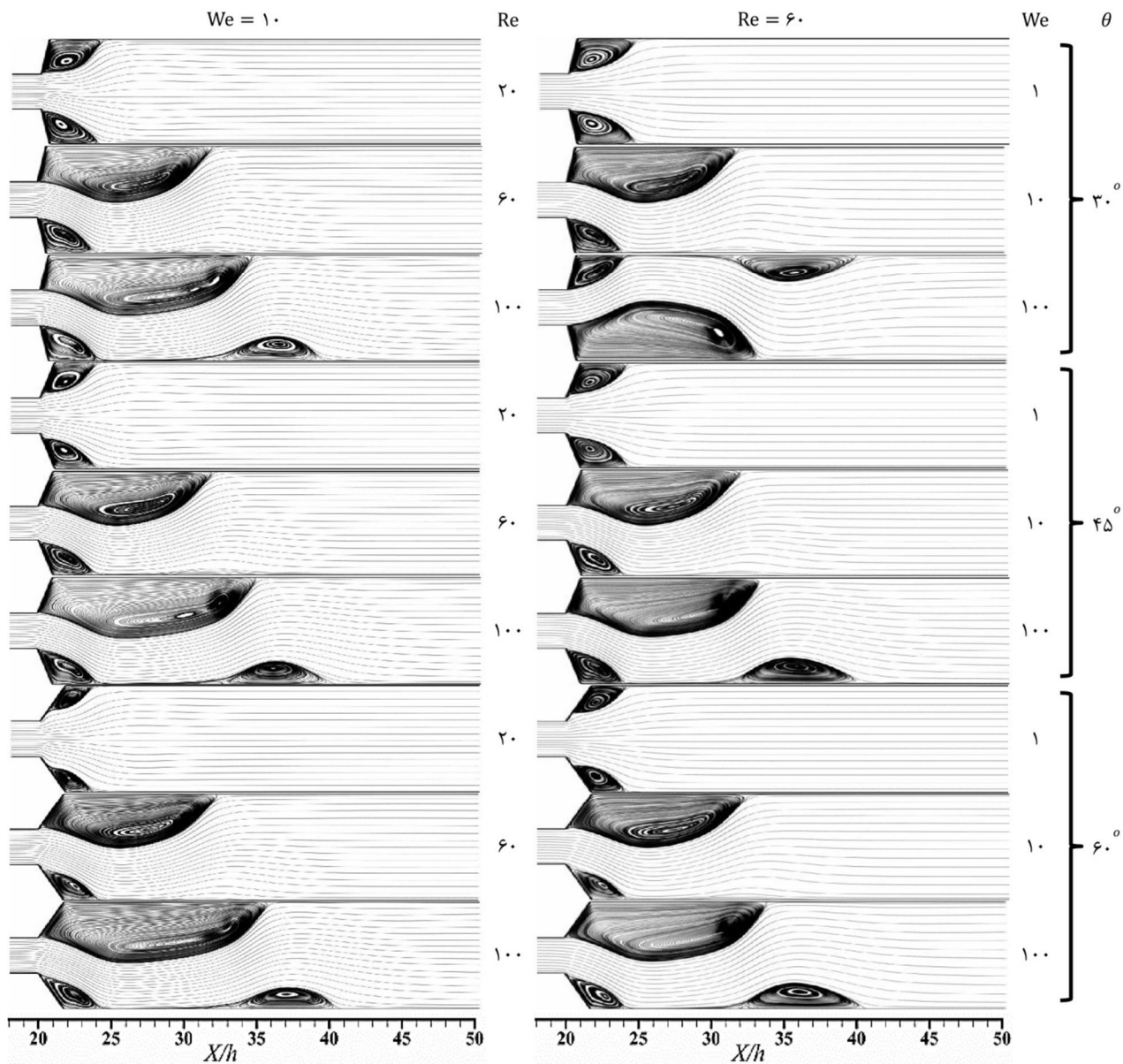
همچنان که در مقدمه اشاره شد، هیچ مطالعه‌ای برای جریان سیال ویسکوالاستیک داخل انبساط تدریجی انجام نگرفته است و تحقیقات انجام شده تاکنون فقط برای جریان خوشی سیال ویسکوالاستیک در انبساط ناگهانی است.

لزجت، خاصیت الاستیک و نیروی اینرسی جریان ایجاد گردیده و گردابه‌ها نامتقارن می‌شوند. با افزایش بیشتر عدد رینولدز یا واizenberg (بعد از مقدار بحرانی اول)، جهت جریان به سمت یکی از دیوارهای کanal منحرف می‌گردد. بنابراین در مجاورت دیواره کanal، طول یکی از گردابه‌ها کاهش و طول گردابه دیگر افزایش پیدا می‌کند. با زیاد شدن عدد رینولدز یا واizenberg (بعد از مقدار بحرانی دوم)، اختلالات جریان سیال افزایش یافته و ایجاد حالت جدیدی از تعادل بین نیروی اینرسی، خاصیت الاستیک و لزجت منجر به شکل‌گیری گردابه سوم می‌گردد. برای بررسی دقیق‌تر روند تغییرات طول گردابه‌ها با اعداد واizenberg و رینولدز، مشخصات گردابه‌ها در جداول 2 و 3 آورده شده است. با توجه به شکل 1 در بخش مقدمه، گردابه‌های اول و دوم به ترتیب همان گردابه‌های کوچک‌تر و بزرگ‌تر بعد از حالت بحرانی اول می‌باشد و گردابه سوم بعد از حالت بحرانی دوم تشکیل می‌گردد.

همچنین در جداول 2 و 3، طول گردابه‌های اول، دوم و سوم با ارتفاع بخش اول کanal بی بعد شده است. در جدول 2، تأثیر زوایای انساطی بر طول گردابه‌ها، برای اعداد رینولدز و واizenberg مختلف نشان داده شده است.

بحرانی اول و دوم برای جریان سیال ویسکوالاستیک مشاهده می‌گردد. مقدار بحرانی اول برای اعداد رینولدز و واizenberg در حالت تعریف می‌گردد که گردابه‌ها از حالت نامتقارن تبدیل به حالت نامتقارن می‌گردند. همچنین حالتی که دو گردابه نامتقارن تبدیل به سه گردابه نامتقارن می‌گردد، مقدار بحرانی دوم برای اعداد رینولدز و واizenberg تعریف می‌شود. این تغییر حالت از متقارن به غیرمتقارن مربوط به تعادل بین نیروهای لزجت، اینرسی و الاستیک در بخش انساطی کanal می‌باشد. در واقع خاصیت الاستیک سیال سبب ایجاد نوعی حافظه برای سیال ویسکوالاستیک می‌شود و سبب می‌گردد تغییر شکل ایجاد شده در المان سیال باقی بماند. همچنین به دلیل خاصیت الاستیک، سیال در مقابل تغییر شکل جدید ایجاد شده ناشی از اعمال نیروی تنش بر المان سیال مقاومت می‌کند.

همانطور که در شکل 6 مشاهده می‌گردد، برای اعداد رینولدز یا واizenberg کوچک، اثرات جابجایی و اختلالات جریان سیال توسط اثرات لزجت و خاصیت الاستیک از بین می‌رود و گردابه‌ها متقارن می‌ماند. در مقدار بحرانی اول برای اعداد رینولدز و واizenberg، حالت جدیدی از تعادل بین اثرات



شکل 6 خطوط جریان سیال ویسکوالاستیک برای اعداد رینولدز و واizenberg مختلف در زوایای انساطی 30، 45 و 60 درجه

جدول 2 طول گردابهای جریان سیال ویسکوالاستیک در انبساط تدریجی برای اعداد واizenberg و زوایای انبساطی مختلف ($Re = 60$)

$\theta = 60^\circ$	$\theta = 45^\circ$	$\theta = 30^\circ$	زاویه انبساط
LV_2/h	LV_3/h	LV_1/h	
4/662	0	4/728	4/554
4/500	0	4/500	4/237
4/566	0	4/631	4/300
5/963	0	4/795	5/075
7/362	0	3/951	6/952
8/298	0	3/762	8/159
9/195	0	3/762	9/032
11/75	0	3/762	11/881
12/03	1/933	3/762	12/16
12/41	4/139	3/762	12/72
12/60	4/969	3/762	12/91
12/79	5/738	3/762	13/11
12/79	5/869	3/762	13/11
12/98	8/474	3/762	13/30
12/98	9/027	3/762	13/20
12/98	9/273	3/762	13/20
			9/169
			3/742
			13/73
			9/065
			3/986
			100

جدول 3 طول گردابهای جریان سیال ویسکوالاستیک در انبساط تدریجی برای اعداد رینولدز و زوایای انبساطی مختلف ($We = 10$)

$\theta = 60^\circ$	$\theta = 45^\circ$	$\theta = 30^\circ$	زاویه انبساط
LV_2/h	LV_3/h	LV_1/h	
1/224	0	1/277	0/259
2/672	0	2/672	2/129
3/825	0	3/699	3/428
4/142	0	3/825	3/742
6/835	0	4/787	6/590
8/946	0	3/762	8/871
11/75	0	3/762	11/881
11/75	0/919	3/762	11/97
11/84	1/762	3/762	12/158
12/21	2/789	3/762	12/44
12/69	4/084	3/825	13/11
13/48	3/848	3/888	13/69
14/49	8/121	3/888	14/80
			8/424
			3/864
			15/63
			8/180
			4/045
			100
			Re
			10

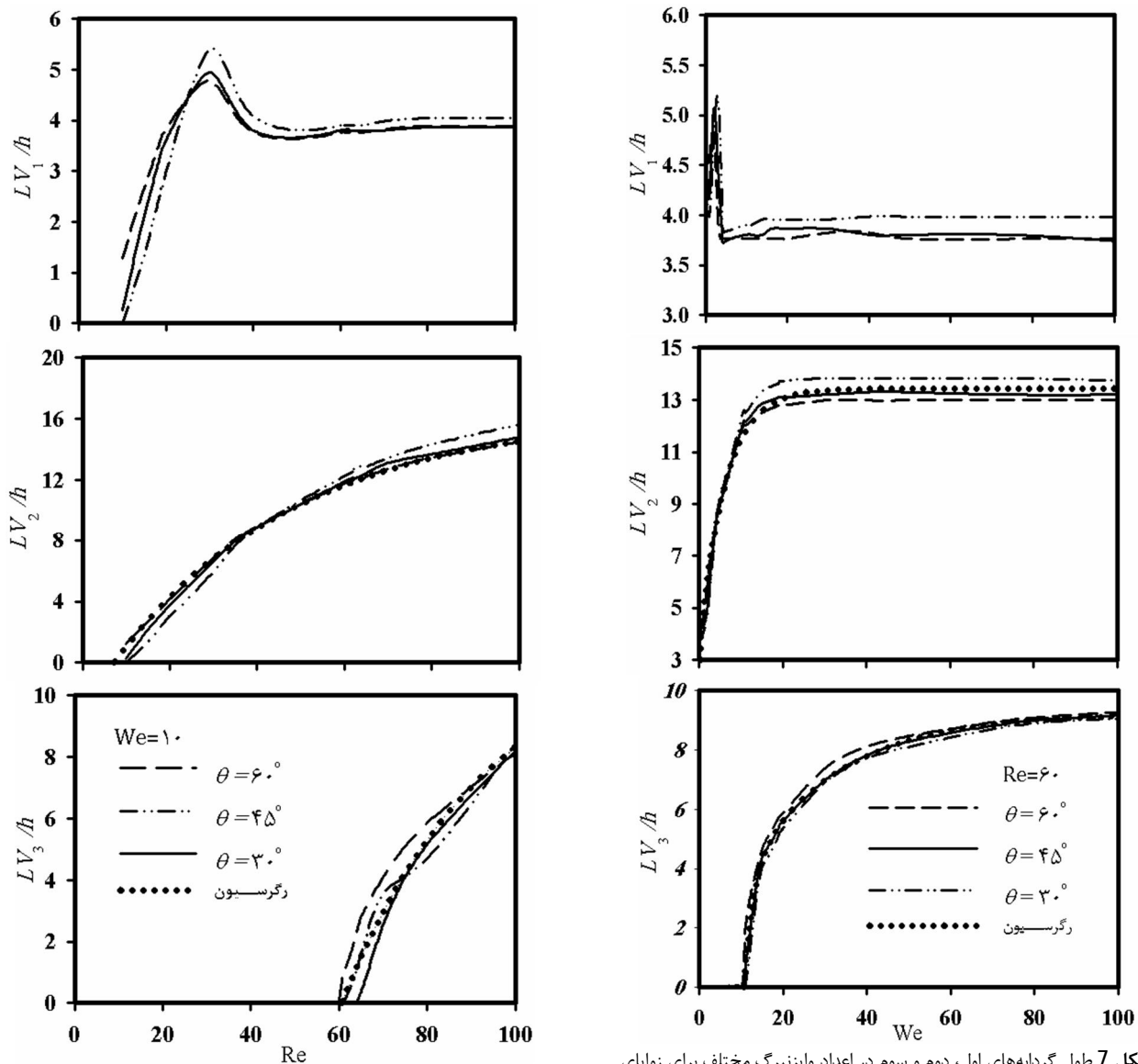
انرژی جریان افزایش می‌یابد. انتقال انرژی به گردابهای، منجر به افزایش طول گردابهای تا قبل از عدد رینولدز بحرانی اول می‌گردد. با افزایش زاویه انبساط طول گردابهای بزرگتر می‌گردد، ولی روند رشد طول گردابهای با عدد رینولدز کاهش می‌یابد. بعد از عدد رینولدز بحرانی اول، با انحراف جریان به سمت دیوار پایین، نیروی جاذبی سیال بر لزجت غالب شده و طول گردابه در مجاورت دیوار پایین کاهش می‌یابد.

در حالیکه برای گردابه در مجاورت دیوار بالا، نیروی لزجت غالب بوده و طول آن افزایش می‌یابد. بعد از عدد رینولدز بحرانی اول، طول گردابه در مجاورت دیوار پایین به دلیل خاصیت الاستیک ابتدا کمی افزایش و سپس کاهش می‌یابد. با زیاد شدن اندازه زاویه انبساط، طول گردابهای و روند رشد آنها با عدد رینولدز کاهش می‌یابد. بعد از عدد رینولدز بحرانی دوم، جریان به سمت دیوار بالا تغییر مسیر می‌دهد. به دلیل غلبه خاصیت لزجت بر نیروی اینرسی در مجاورت دیوار پایین گردابه سوم تشکیل می‌شود و با افزایش انرژی جنشی جریان، طول هر سه گردابه بیشتر می‌گردد. ولی به خاطر خنثی شدن نیروی اینرسی با خاصیت لزجت والاستیک، افزایش طول گردابه اول در مجاورت دیوار پایین بسیار کم می‌باشد.

همانطور که در جدول 2 مشاهده می‌گردد، طول گردابهای متقاضی تا قبل از عدد واizenberg یک (1) ($We = 1$) برای تمام زوایای انبساطی کاهش پیدا می‌کند. زیرا تأثیر خاصیت الاستیک بسیار کم است. با افزایش تأثیر خاصیت الاستیک و ایجاد حالت جدیدی از تعادل، طول گردابهای تا بعد از عدد واizenberg بحرانی دوم افزایش می‌یابد. زیرا افزایش خاصیت الاستیک و لزجت بر نیروی اینرسی غلبه می‌کند. البته بیشترین تغییرات طول برای گردابهای اول و دوم از اعداد واizenberg یک تا عدد واizenberg بحرانی دوم می‌باشد.

بعد از عدد واizenberg بحرانی دوم، تغییرات طول گردابهای اول و دوم با افزایش اندازه زاویه انبساط بیشتر می‌گردد. همچنین با افزایش خاصیت الاستیک بعد از مقدار بحرانی دوم برای عدد واizenberg، طول گردابه سوم افزایش می‌یابد. ولی روند تغییرات طول گردابه سوم در اعداد واizenberg بزرگ کم می‌باشد. با زیاد شدن مقدار زاویه انبساط نیز طول گردابه سوم و روند تغییرات آن بیشتر می‌گردد.

جدول 3. تأثیر زوایای انبساطی بر طول گردابهای را برای اعداد رینولدز مختلف نشان می‌دهد. با توجه به جدول 3، ابتدا با زیاد شدن سرعت جریان،



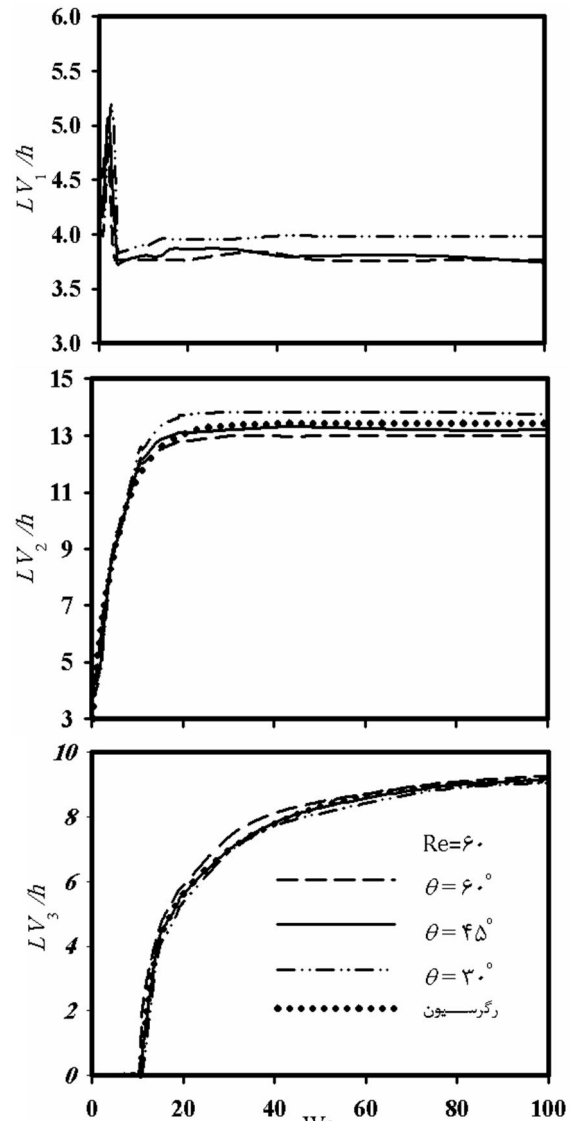
شکل 8 طول گردابهای اول، دوم و سوم در اعداد رینولدز مختلف برای زوایای انساط متفاوت ($We = 10$)

جدول 4 مقادیر بحرانی اول و دوم برای اعداد رینولدز و واپنبرگ در زوایای انساطی مختلف

$\theta = 60^\circ$	$\theta = 45^\circ$	$\theta = 30^\circ$	مشخصه جریان	مقدار بحرانی
18	19	19	Re_{Cr1}	$We = 10$
60	62	64	Re_{Cr2}	
1	2	1	We_{Cr1}	
10	10	11	We_{Cr2}	$Re = 60$

با افزایش اینرسی جریان، طول گردابهای افزایش می‌یابد ولی نرخ تغییرات آن‌ها کمتر می‌گردد؛ که این به دلیل غلبه نیروی جابجایی بر خاصیت لزجت می‌باشد. طول گردابهای اول و دوم در زاویه انساط 45 درجه برای اعداد رینولدز کوچک دارای کمترین مقدار است در حالیکه برای اعداد رینولدز بزرگ عکس آن برقرار می‌باشد (با توجه به شکل 8).

با بکارگیری رگرسیون غیرخطی برای طول گردابهای دوم و سوم در زوایای انساطی مختلف، معادلاتی بر حسب اعداد رینولدز (در عدد واپنبرگ ثابت 10) و اعداد واپنبرگ (در عدد رینولدز ثابت 60) محاسبه گردیده و در روابط (12-9) ذکر شده است.



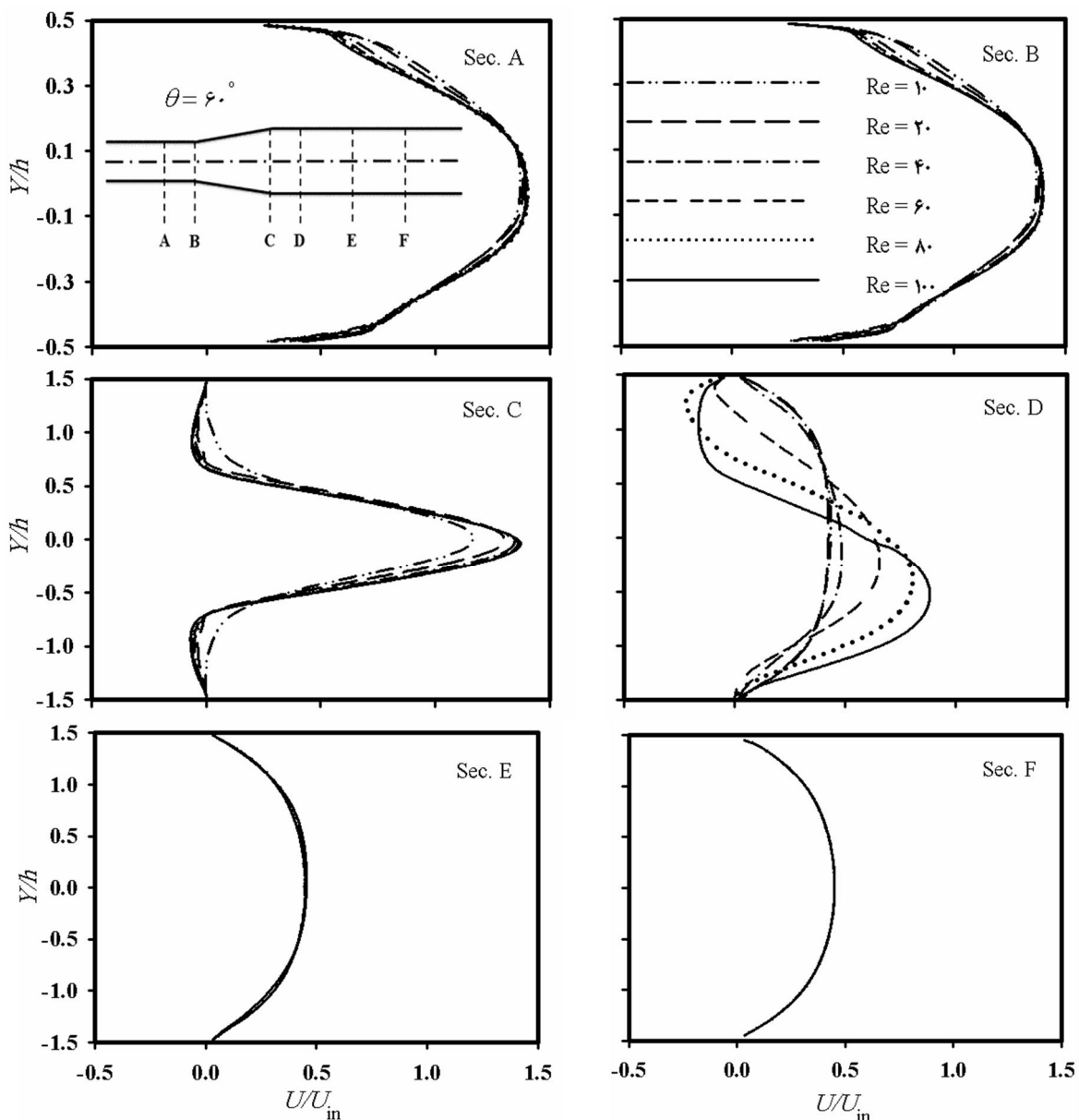
شکل 7 طول گردابهای اول، دوم و سوم در اعداد واپنبرگ مختلف برای زوایای انساطی متفاوت ($Re = 60$)

با زیاد شدن عدد رینولدز، طول گردابهای و روند تغییرات آن‌ها با مقدار زاویه انساط بصورت یکنواخت نیست. بلکه با افزایش اندازه زاویه انساط، طول گردابهای ابتدا کاهش و سپس افزایش می‌یابد.

در شکل‌های 7 و 8 روند تغییرات طول گردابهای با اعداد رینولدز و واپنبرگ در زوایای انساطی مختلف به صورت نمودار نمایش داده شده است. همچنین با استفاده از رگرسیون غیرخطی، معادلاتی برای انطباق بر طول گردابهای دوم و سوم در زوایای انساطی مختلف محاسبه و ترسیم شده است.

همانطور که در شکل 7 مشاهده می‌گردد، افزایش خاصیت الاستیک، منجر به افزایش مقاومت سیال پلیمری در برابر تغییر شکل می‌گردد؛ به همین خاطر، با افزایش عدد واپنبرگ شب تغییرات طول گردابهای کمتر می‌گردد.

همچنین در اعداد واپنبرگ بسیار زیاد، با تجمع تغییر شکل‌ها در سیال ویسکوالاستیک پایداری جریان افزایش یافته و تغییر طول گردابهای بسیار کم می‌باشد. هنگامی که سطح مقطع با تغییرات ملائم‌تر (زاویه انساط کوچکتر) افزایش می‌یابد، مقاومت سطح در برابر اثر جابجایی جریان بالا دست بیشتر شده و طول گردابهای افزایش می‌یابد. به همین دلیل در زوایای انساطی کوچکتر، طول گردابهای اول و دوم بیشتر می‌باشد.



شکل ۹ پروفیل سرعت جریان سیال ویسکوالاستیک در مقاطع عرضی و اعداد رینولز مختلف برای زاویه انبساط ۶۰ درجه ($We = 10$)

آنچایی که نیروی جاچایی جریان در عدد رینولز بحرانی اول کم است؛ تأثیر مقدار زاویه انبساط ابتداء ناچیز است ولی سپس زیاد می‌گردد. ولی روند تغییرات عدد رینولز بحرانی دوم در تمام زوایای انبساطی نزولی است و این به دلیل اینرسی زیاد جریان می‌باشد. با افزایش اندازه زاویه انبساط، طول پخش انبساطی کاهش یافته و اختلالات جریان افزایش می‌یابد. با کم شدن اثر لزجت و خنثی شدن آن با نیروی اینرسی، حالت جدیدی از تعادل برای تشکیل گردابهای نامتقارن و گردابه سوم ایجاد می‌گردد.

همچنین در زوایای انبساطی بزرگتر، این حالت تعادلی جدید در اعداد رینولز کوچکتر اتفاق می‌افتد. همانطور که قبلاً اشاره گردید، افزایش خاصیت الاستیک، منجر به ایجاد نوعی حافظه برای سیال پلیمری می‌شود که منجر به افزایش مقاومت سیال پلیمری در برابر تغییر شکل می‌گردد. به همین خاطر برای اعداد واپزنبرگ بحرانی دوم، که خاصیت الاستیک زیاد است؛ تأثیر زوایای انبساطی بزرگ بر اعداد واپزنبرگ بحرانی دوم ناچیز می‌باشد. در حالیکه مقدار عدد واپزنبرگ بحرانی اول با زیاد شدن خاصیت الاستیک، ابتداء افزایش و سپس کاهش می‌یابد.

این معادلات برای جریان سیال پلیمری در کanal صفحه‌ای با انبساط تدریجی ۱:۳ می‌باشد. با استفاده از این معادلات و معلوم بودن مقادیر اعداد رینولز و واپزنبرگ، می‌توان طول گردابهای دوم و سوم را برای جریان سیال پلیمری در کanal صفحه‌ای با سطح مقطع متغیر محاسبه نمود. در جدول ۴، تأثیر اندازه زاویه انبساط بر اعداد رینولز و واپزنبرگ بحرانی نشان داده شده است.

$$LV_2(We = 10) = -19.13 \times \exp(-0.024 \times Re) + 16.11 \quad (9)$$

$$LV_3(We = 10) = -75.01 \times \exp(-0.030 \times Re) + 11.90, Re \geq 60 \quad (10)$$

$$LV_2(Re = 60) = 3.304 \times (1 - \exp(-5789 \times We)) + 10.13 \times (1 - \exp(-0.164 \times We)) \quad (11)$$

$$LV_3(Re = 60) = -478.6 \times \exp(-0.455 \times We) + 9.242 - 8.842 \times \exp(-0.045 \times We), We \geq 1 \quad (12)$$

همانطور که قبلاً نیز اشاره گردید، به دلیل زیاد بودن نیروی اینرسی و خاصیت الاستیک جریان سیال پلیمری، دو مقدار بحرانی برای اعداد رینولز و واپزنبرگ مشاهده می‌گردد. همانطور که در جدول ۴ مشاهده می‌شود، روند تغییرات عدد رینولز بحرانی اول بعد از زاویه ۴۵ درجه کاهش می‌یابد. از

متقارن می‌باشد. بیشترین تغییرات پروفیل سرعت با عدد رینولدز در ابتدای بخش سوم کanal (قطع عرضی D) مشاهده می‌گردد. زیرا افزایش اینرسی جریان و تشکیل گردابههای نامتقارن سبب می‌گردد که پروفیل سرعت در مجاورت دیوارهایی کanal دارای مقدار منفی باشد و بیشترین مقدار سرعت (شکم پروفیل سرعت) به سمت دیواره پایینی کanal منحرف می‌گردد.

در شکل 10، حالت توسعه یافته برای پروفیل سرعت جریان سیال ویسکوالاستیک در بخش‌های اول و سوم کanal برای زوایای انبساطی مختلف مشاهده می‌گردد. همچنین بیشترین مقدار سرعت در حالت توسعه یافته به عدد واizenberg وابسته می‌باشد. با افزایش خاصیت الاستیک سیال، پایداری جریان افزایش یافته و بیشترین مقدار سرعت در حالت توسعه یافته به مقدار سیال نیوتونی نزدیکتر می‌گردد.

با افزایش عدد واizenberg، مقدار کاهش سرعت در بخش انبساطی و افزایش سرعت در بخش سوم کanal بیشتر می‌شود. با غلبه خاصیت‌های لزجت و الاستیک بر نیروی اینرسی، طول و ارتفاع گردابه‌ها افزایش و انرژی جنبشی سیال کاهش می‌یابد. تغییر سطح مقطع سیال منجر به کاهش ناگهانی سرعت و تغییر شکل المان سیال می‌گردد. از آنجایی که سیال دارای خاصیت الاستیک می‌باشد، این تغییر شکل در داخل سیال ماندگار می‌شود و طول توسعه یافته برای پروفیل سرعت جریان بیشتر می‌گردد. همچنین تأثیر اندازه زاویه انبساط روی روند تغییرات توزیع سرعت بر روی خط مرکزی کanal بسیار کم می‌باشد.

6- جمع بندی نتایج

در این مطالعه، جریان سیال ویسکوالاستیک که لزجت پلیمری آن بسیار بزرگتر از لزجت نیوتونی می‌باشد؛ با استفاده از مدل رئولوژیکی فن تین-تنر غیرخطی مورد مطالعه قرار گرفته است. جریان سیال پلیمری داخل کanal صفحه‌ای با انبساط تدریجی 1:3 می‌باشد. برای مدل‌سازی انبساط تدریجی کanal، سه زاویه انبساط 30، 45 و 60 درجه در نظر گرفته شده است. همچنین تأثیر نیروی اینرسی و خاصیت الاستیک بر طول گردابههای متقارن و نامتقارن در زوایای انبساطی مختلف مورد بررسی قرار گرفته است.

نتایج حاصل از این بررسی عبارتند از:

1- بیشترین مقدار سرعت در حالت توسعه یافته، وابسته به عدد واizenberg و مستقل از عدد رینولدز می‌باشد.

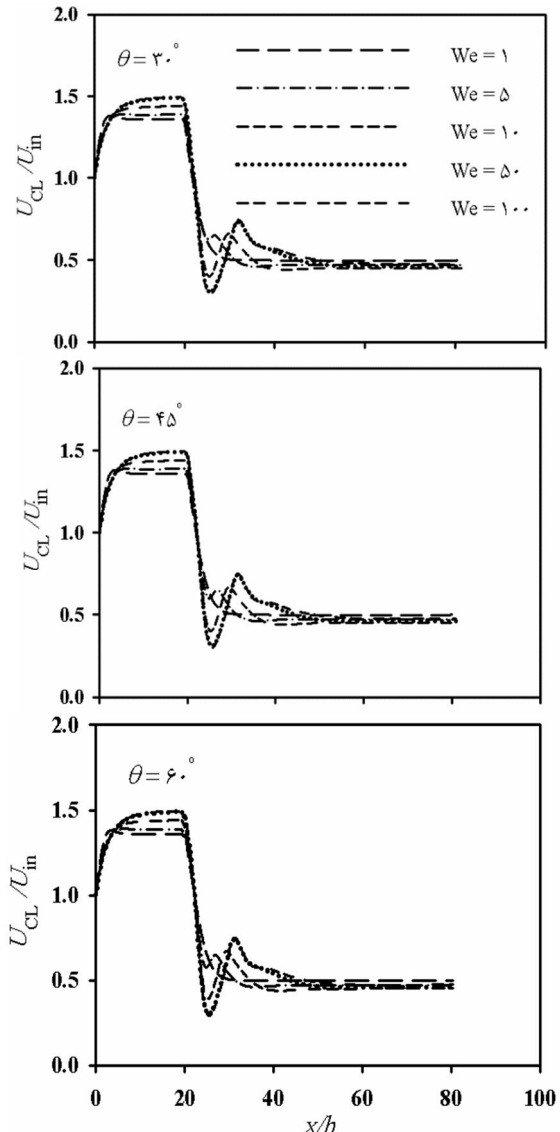
2- قبل از عدد رینولدز بحرانی دوم، با افزایش اندازه زاویه انبساط طول گردابه‌ها بزرگتر می‌گردد، ولی نرخ رشد طول گردابه‌ها با عدد رینولدز کاهش می‌یابد.

3- با زیاد شدن سرعت جریان بعد از عدد رینولدز بحرانی دوم، طول گردابه‌ها و روند تغییرات آن‌ها با مقدار زاویه انبساط بصورت یکنواخت نیست؛ بلکه با زیاد شدن اندازه زاویه انبساط، طول گردابه‌ها ابتدا کاهش و سپس افزایش می‌یابد.

4- طول گردابههای متقارن تا قبل از عدد واizenberg یک برای تمام زوایای انبساط کاهش پیدا می‌کند.

5- با افزایش خاصیت الاستیک، طول توسعه یافته برای پروفیل سرعت جریان زیاد می‌گردد. در اعداد واizenberg بسیار بزرگ، بیشتر شدن خاصیت الاستیک دیگر بر روند تغییرات سرعت مؤثر نمی‌باشد.

6- بیشترین تغییرات طول برای گردابههای اول و دوم از عدد واizenberg یک تا عدد واizenberg بحرانی دوم است. همچنین بعد از عدد واizenberg بحرانی دوم، تغییرات طول گردابههای اول و دوم با افزایش اندازه زاویه انبساط بیشتر می‌شود.



شکل 10 توزیع سرعت جریان سیال ویسکوالاستیک بر روی خط مرکزی کanal برای اعداد واizenberg و زوایای انبساطی مختلف ($Re = 60$)

در شکل 9، تأثیر نیروی اینرسی بر توزیع سرعت در مقاطع عرضی مختلف کanal مورد بررسی قرار گرفته است. برای تعیین محل این مقاطع عرضی، ابتدا و انتهای بخش انبساطی در نظر گرفته شده و با ارتفاع بخش اول کanal بی بعد شده است. نامگذاری این مقاطع عرضی به ترتیب A، B، C، D، E، F و G می‌باشد. مقاطع عرضی B و C به ترتیب ابتدا و انتهای بخش انبساطی است. فاصله مقاطع عرضی A از ابتدای بخش انبساطی 10 برابر ارتفاع بخش اول کanal (در جهت منفی محور افقی مختصات) می‌باشد. فاصله مقاطع عرضی D، E و F از انتهای بخش انبساطی، به ترتیب 10، 30 و 50 برابر ارتفاع بخش اول کanal (در جهت مثبت محور افقی مختصات) می‌باشد.

مقاطع عرضی A و F پروفیل سرعت جریان توسعه یافته در بخش اول و سوم کanal را نشان می‌دهند. همانطور که مشاهده می‌شود، بیشترین مقدار سرعت در حالت توسعه یافته به عدد رینولدز وابسته نمی‌باشد. البته نیروی اینرسی جریان بر اینتیاب پروفیل سرعت حالت توسعه یافته در نزدیک دیوارهای کanal مؤثر می‌باشد. به گونه‌ای که پروفیل سرعت در بخش اول کanal برای اعداد رینولدز کم با شبیه بیشتری تغییر می‌کند. همچنین در اعداد رینولدز کوچک که گردابههای متقارن تشکیل می‌گردد، پروفیل سرعت

بالانویس‌ها	
توان مدل قانون توانی	n
علامت درجه برای زاویه انساط	°
زیرنویس‌ها	
خط مرکزی کanal	CL
حالت بحرانی اول	Cr1
حالت بحرانی دوم	Cr2
ورودی کanal	in
کمترین مقدار	min
نوع سیال نیوتونی	N
نوع سیال پلیمری	P
کل شبکه	tot

8- مراجع

- [1] T. K. Hung, E. O. Macagno, Laminar eddies in a two-dimensional conduit expansion, *La Houille Blanche*, Vol. 21, pp. 391–401, 1966.
- [2] F. Durst, A. Melling, J. H. Whitelaw, Low Reynolds number flow over a plane symmetric sudden expansion, *J. Fluid Mechanic*, Vol. 64, pp. 111–128, 1974.
- [3] W. Cherdron, F. Durst, J. H. Whitelaw, Asymmetric flows and instabilities in symmetric ducts with sudden expansions, *J. Fluid Mechanic*, Vol. 84, pp. 13–31, 1978.
- [4] E. O. Macagno, T. K. Hung, Computational and experimental study of a captive annular eddy, *J. Fluid Mechanic*, Vol. 28, pp. 43–64, 1967.
- [5] R. M. Fearn, T. Mullin, K. A. Cliffe, Nonlinear phenomena in a symmetric sudden expansion, *J. Fluid Mechanic*, Vol. 211, pp. 595–608, 1990.
- [6] A. Acrivos, M. L. Schrader, Steady flow in a sudden expansion at high Reynoldsnumber, *J. Phys. Fluids*, Vol. 25, pp. 923–930, 1982.
- [7] F. S. Milos, A. Acrivos, J. Kim, Steady flow past sudden expansion at large Reynolds number-II. Navier-Stokes solutions for the cascade expansion, *J. Phys. Fluids*, Vol. 30, pp. 7–18, 1987.
- [8] M. M. Shahmardan, M. Norouzi, A. S. Zahiri, instability investigation of Newtonian flow in a planar gradual expansion, *Modares Mechanical Engineering*, Vol. 13, No. 3, pp. 28–36, 2013. (In Persian)
- [9] R. Manica, A. L. De Bortoli, Simulation of sudden expansion flows for power-lawfluids, *J. Non-Newtonian Fluid Mechanics*, Vol. 121, pp. 35–40, 2004.
- [10] P. Neofytou, Transition to asymmetry of generalised Newtonian fluid flowsthrough a symmetric sudden expansion, *J. Non-Newtonian Fluid Mechanics*, Vol. 133, pp. 132–140, 2006.
- [11] S. Dhinakaran, M. S. N. Oliveira, F. T. Pinho, M. A. Alves, Steady flow of power-law fluids in a 1:3 planar sudden expansion, *J. Non-Newtonian Fluid Mechanics*, Vol. 198, pp. 48–58, 2013.
- [12] P. Townsend, K. Walters, Expansion flows of non-Newtonian liquids, *Chem. Eng. Science*, Vol. 49, pp. 749–763, 1994.
- [13] A. Baloch, P. Townsend, M. F. Webster, Onvortexdevelopment in viscoelastic expansion and contraction lows, *J. Non-Newtonian Fluid Mechanics*, Vol. 65, pp. 133–149, 1996.
- [14] M. S. Darwish, J. R. Whiteman, M. J. Bevis, Numerical modelling of viscoelastic liquids using finite-volumemethod, *J. Non-Newtonian Fluid Mechanics*, Vol. 45, No. 3, pp. 311–337, 1992.
- [15] K. A. Missirlis, D. Assimacopoulos, E. Mitsoulis, A finite volume approach in the simulation of viscoelastic expansion lows, *J. Non-Newtonian Fluid Mechanics*, Vol.78, No. 2-3, pp. 91–118, 1998.
- [16] R. J. Poole, M. A. Alves, P. J. Oliveira, F. T. Pinho, Plane sudden expansion flows ofviscoelastic liquids, *J. Non-Newtonian Fluid Mechanics*, Vol. 146, pp. 79–91, 2007.
- [17] R.J. Poole, F.T. Pinho, M.A. Alves, P.J. Oliveira, The effect of expansion ratio forcing expansion flows of UCM fluids, *J. Non-Newtonian Fluid Mechanics*, Vol. 163, pp. 35–44, 2009.
- [18] P. J. Oliveira, Asymmetric flows of viscoelastic fluids in symmetric planarexpansion geometries, *J. Non-Newtonian Fluid Mechanics*, Vol. 114, pp. 33–63, 2003.
- [19] G. N. Rocha, R. J. Poole, P. J. Oliveira, Bifurcation phenomema in viscoelastic flows through a symmetric 1:4 expansion, *J. Non-Newtonian Fluid Mechanics*, Vol. 141, pp. 1–17, 2007.

7- بعد از مقدار بحرانی دوم برای عدد واپنبرگ، طول گردابه سوم افزایش می‌یابد؛ ولی روند تغییرات آن در اعداد واپنبرگ بزرگ کمتر می‌گردد. همچنین با زیاد شدن مقدار زاویه انساط، طول گردابه سوم و روند تغییرات آن بیشتر می‌گردد.

8- تأثیر زوایای انساطی بزرگ بر اعداد واپنبرگ بحرانی دوم ناچیز می‌باشد، در حالیکه مقدار عدد واپنبرگ بحرانی اول با زیاد شدن خاصیت الاستیک ابتداء افزایش و سپس کاهش می‌یابد.

9- در اعداد واپنبرگ بزرگ، تأثیر خاصیت الاستیک و اندازه زاویه انساط بر تغییرات طول گردابه‌های جریان کم است.

7- فهرست علامت

タンسور نرخ تغییر شکل (s ⁻¹)	d
نسبت انساط کanal	ER
ارتفاع بخش اول کanal (m)	h
ارتفاع بخش سوم کanal (m)	H
طول بخش اول کanal (m)	L ₁
طول بخش دوم کanal (m)	L ₂
طول بخش سوم کanal (m)	L ₃
طول گردابه کوچکتر نامتقارن (m)	L _{V1}
طول گردابه بزرگتر نامتقارن (m)	L _{V2}
طول گردابه سوم (m)	L _{V3}
شبکه بندی متوسط	M ₁
شبکه بندی ریز	M ₂
شبکه بندی بسیار ریز	M ₃
تعداد سلول‌های شبکه	NC
تعداد سلول‌های شبکه بخش اول کanal	NC ₁
تعداد سلول‌های شبکه بخش دوم کanal	NC ₂
تعداد سلول‌های شبکه بخش سوم کanal	NC ₃
فشار (kgm ⁻¹ s ⁻²)	p
عدد رینولدز	Re
قطع عرضی کanal	Sec
زمان (s)	t
بردار سرعت (ms ⁻¹)	u
سرعت یکنواخت (ms ⁻¹)	U
عدد واپنبرگ	We
محورهای مختصات کارتزین (m)	x, y
علایم یونانی	
طول سلول شبکه بندی (m)	Δx
عرض سلول شبکه بندی (m)	Δy
پارامتر بی بعد کشش مدل رئولوژیکی فن تین-تنر	ε
لزجت (kgm ⁻¹ s ⁻¹)	η
زاویه انساط (°)	θ
زمان رهایی از تنش (s)	λ
نصف عرض کanal بالا دست	λ
پارامتر بی بعد تنظیم پذیر مدل رئولوژیکی فن تین-تنر	ξ
چگالی (kgm ⁻³)	ρ
تانسور تنش (kgm ⁻¹ s ⁻²)	τ

- [23] N. Phan-Thien, R. I. Tanner, A new constitutive equation derived from network theory, *J. Non-Newtonian Fluid Mechanics*, Vol. 2, pp. 353–365, 1977.
- [24] N. Phan-Thien, A non-linear network viscoelastic model, *J. Rheology*, Vol. 22, pp. 259–283, 1978.
- [25] M. Alves, F. Pinho, P. Oliveira, Viscoelastic flow in a 3D square-square contraction: visualizations and simulations, *J. Rheology*, Vol. 52 pp. 1347–1368, 2008.
- [26] H. K. Versteeg, W. Malalasekera, *An introduction to computational fluid dynamics: the finite volume method*, 2nd, Pearson Education, 2007.
- [20] Z. Y. Zheng, F. C. Li, J. C. Yang, Modeling asymmetric flow of viscoelastic fluid in symmetric planar sudden expansion geometry based on user-defined function in Fluent CFD package. *Advances in Mechanical Engineering*, Vol. 2013, pp. 1-13, 2013.
- [21] M. Azizi, S. A. Ahmad Ramazani, M. Habib Etemadi, S. Ehsan Shirzaei, Simulation of viscoelastic fluid flows in expansion geometry using finite volume approach, *Chinese Journal of Polymer Science*, Vol. 31, No. 12, pp. 1599-1612, 2013. (In English)
- [22] R. B. Bird, R. C. Armstrong, O. Hassager, *Dynamics of polymeric liquids. Vol. 1: Fluid mechanics*, Wiley, 1987.